

# 激光与光电子学进展

## 2 $\mu\text{m}$ 波段单掺铥脉冲固体激光器研究进展

樊雨晴<sup>1,2,3</sup>, 施翔春<sup>1,2,3\*</sup>, 刘晶<sup>1,2</sup>, 钱传鹏<sup>1,2</sup>, 余婷<sup>1,2,3</sup>, 叶锡生<sup>1,2,3</sup>

<sup>1</sup>中国科学院上海光学精密机械研究所高功率光纤激光技术实验室, 上海 201800;

<sup>2</sup>中国科学院上海光学精密机械研究所上海市全固态激光器与应用技术重点实验室, 上海 201800;

<sup>3</sup>中国科学院大学材料科学与光电技术学院, 北京 100049

**摘要** 2  $\mu\text{m}$  波段激光用途广泛,既可以应用于激光雷达、激光测距和医疗手术等领域,又可以作为中长波红外波段激光器的泵浦源。采用激光二极管直接泵浦掺铥晶体获得 2  $\mu\text{m}$  波段激光,是一种直接高效的技术手段,受到了广泛关注。本文介绍了 Tm:YAG、Tm:YAP 和 Tm:YLF 脉冲激光器的研究进展,并进行了总结与展望。

**关键词** 激光器; 固体激光器; 脉冲激光器; 激光二极管泵浦激光器; 激光材料; 2  $\mu\text{m}$  波段

中图分类号 TN248.1

文献标志码 A

DOI: 10.3788/LOP220654

### Research Progress of Tm-Doped Pulsed Solid-State Lasers in 2 $\mu\text{m}$ Band

Fan Yuqing<sup>1,2,3</sup>, Shi Xiangchun<sup>1,2,3\*</sup>, Liu Jing<sup>1,2</sup>, Qian Chuanpeng<sup>1,2</sup>, Yu Ting<sup>1,2,3</sup>, Ye Xisheng<sup>1,2,3</sup>

<sup>1</sup>Laboratory of High Power Fiber Laser Technology, Shanghai Institute of Optics and Fine Mechanics, Chinese Academy of Sciences, Shanghai 201800, China;

<sup>2</sup>Shanghai Key Laboratory of All Solid-State Laser and Applied Techniques, Shanghai Institute of Optics and Fine Mechanics, Chinese Academy of Sciences, Shanghai 201800, China;

<sup>3</sup>College of Materials Science and Opto-Electronic Technology, University of Chinese Academy of Sciences, Beijing 100049, China

**Abstract** 2  $\mu\text{m}$  band laser has a wide range of applications, not only in the fields of lidar, laser ranging, and medical surgery, but also as a pump source for mid and long wavelength infrared lasers. Using laser diodes to directly pump thulium-doped crystals to obtain lasers in the 2  $\mu\text{m}$  band is a direct and efficient technical means, which has attracted wide attention. This paper introduces the research progress of Tm:YAG, Tm:YAP, and Tm:YLF pulsed lasers, and makes a summary and prospect.

**Key words** lasers; solid-state lasers; pulsed lasers; diode-pumped lasers; laser materials; 2  $\mu\text{m}$  band

## 1 引言

2  $\mu\text{m}$  波段激光位于大气窗口,并且水分子对此波段的吸收十分强烈,由于具有这些特性,因此 2  $\mu\text{m}$  波段激光在激光雷达、激光测距和医疗手术等领域有着广泛的应用前景,并且 2  $\mu\text{m}$  波段激光还可作为光学参量振荡器的泵浦源,从而实现更长波段的红外激光输出<sup>[1-5]</sup>。固体激光器在大能量、高峰值功率激光输出方面具有明显的优势,受到各国科研人员的广泛关注并取得了长足的发展。

目前,固体激光器实现 2  $\mu\text{m}$  波段大能量激光输出有以下四种常用技术手段:1)采用 1  $\mu\text{m}$  激光泵浦光学

参量振荡器<sup>[6]</sup>;2)采用 LD 泵浦铥铈共掺增益介质<sup>[7]</sup>;3)采用 LD 泵浦单掺铥增益介质<sup>[8]</sup>;4)采用 1.9  $\mu\text{m}$  激光级联泵浦单掺铥增益介质<sup>[9]</sup>。其中,采用 LD 泵浦掺铥增益介质输出 2  $\mu\text{m}$  波段激光有以下优势:1)掺铥晶体的吸收峰大都在 790 nm 附近,此波段已有非常成熟的商用激光二极管可供使用;2)铥离子(Tm<sup>3+</sup>)的交叉弛豫现象,有利于提高量子效率。

铥属镧系元素,1878年由瑞典科学家克莱夫从钷土中分离出来,典型准三能级结构。在波长为 800 nm 附近泵浦光的作用下,粒子从基态能级 <sup>3</sup>H<sub>6</sub> 受激吸收跃迁到激发态能级 <sup>3</sup>H<sub>4</sub>,然后从激发态能级 <sup>3</sup>H<sub>4</sub> 向下无辐射跃迁(NR)至上能级 <sup>3</sup>F<sub>4</sub>,最后由上能级 <sup>3</sup>F<sub>4</sub> 向下跃迁

收稿日期: 2022-01-28; 修回日期: 2022-03-05; 录用日期: 2022-03-29; 网络首发日期: 2022-04-10

通信作者: \*shixc@siom.ac.cn

至基态能级  $^3H_6$  产生激光。同时, 掺铥基质材料还存在交叉弛豫 (CR) 现象, 处于激发态能级  $^3H_4$  上的粒子将部分能量传递给基态能级  $^3H_6$  上的粒子, 然后无辐射跃迁到  $^3F_4$  能级, 基态能级  $^3H_6$  上的粒子吸收能量后也跃

迁至上能级  $^3F_4$ , 即在一个泵浦光的作用下可产生两个光子, 理论上量子效率接近于 2, 其能级结构和能级跃迁过程如图 1<sup>[10]</sup> 所示。

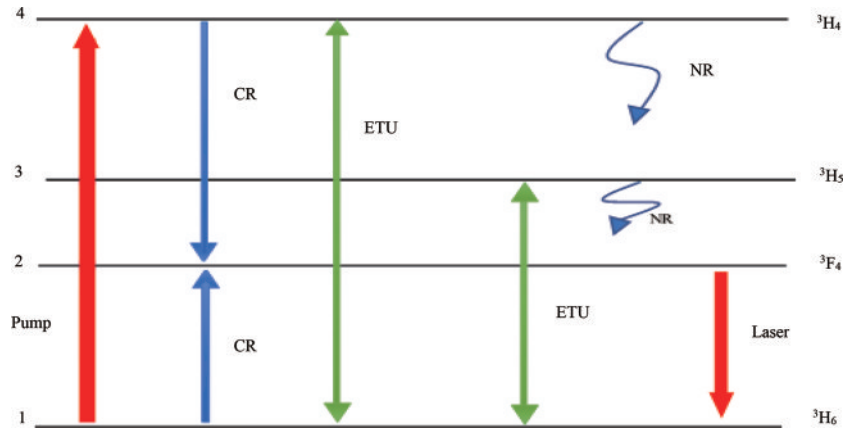


图 1  $Tm^{3+}$  能级结构图<sup>[10]</sup>

Fig. 1 Energy level structure diagram of  $Tm^{3+}$ <sup>[10]</sup>

铥掺杂的基质材料按成分划分主要包括石榴石类晶体、铝酸物晶体、氟化物晶体、钽酸物晶体、钨酸盐晶体和硅酸盐晶体 6 类<sup>[11]</sup>。其中: 钇铝石榴石晶体 ( $Y_3Al_5O_{12}$ , YAG) 具有优良的物理性能和激活粒子承载能力, 光学上各向同性, 生长制备技术成熟, 热导率高, 有利于实现大平均功率激光运转; 铝酸钪晶体 ( $YAlO_3$ , YAP) 物理性能近似于 YAG, 由于 YAP 具有各向异性的光谱特性, 因此可以选择晶体

的结晶取向从而获得最佳性能输出<sup>[12]</sup>; 氟化钪晶体 ( $YLiF_4$ , YLF) 具有较小的声子能量和较大的上能级寿命, 负折射率特性有效减轻了晶体热透镜效应, 有利于实现大脉冲能量激光运转。三种具有代表性的掺铥基质材料, 其各自的物理化学特性如表 1 所示。本文将介绍基于这三种基质材料的  $2\ \mu m$  波段单掺铥脉冲固体激光器的研究进展及未来发展前景。

表 1 常见掺  $Tm^{3+}$  晶体特性<sup>[12-14]</sup>

Table 1 Commonly doped  $Tm^{3+}$  crystal characteristics<sup>[12-14]</sup>

Gain medium	Tm:YAG	Tm:YAP	Tm:YLF
Crystal structure	Cubic system	Orthorhombic system	Tetragonal system
Density $\rho / (g \cdot cm^{-3})$	4.56	5.35	3.99
Melting temperature /K	2220	1870	1098
Hardness by Moos	8.25-8.5	8.5-9	4-5
Refractive index $n$	1.8123	a: 1.9048 b: 1.9185 c: 1.9270	1.44
Thermal conductivity $/(W \cdot cm^{-1} \cdot K^{-1})$	0.13	0.11	a: 0.072 c: 0.058
Upper level lifetime $\tau_2 / ms$	11	4.4-4.9	14
Pump wavelength $\lambda_p / nm$	785	795	792
Absorption cross-section $\sigma_a / (10^{-20} cm^2)$	0.65	0.91	0.35
Emission cross-section $\sigma_e / (10^{-20} cm^2)$	0.22	0.5	0.23
Laser wavelength $\lambda_L / nm$	2.01	1.94, 1.99	1.89, 1.91, 1.94

## 2 单掺铥 2 $\mu\text{m}$ 波段脉冲固体激光器

### 2.1 Tm:YAG 脉冲激光器

1965年,美国贝尔实验室 Johnson 等<sup>[15]</sup>首次报道了 Tm:YAG 激光器,通过氙灯和钨灯泵浦,在液氮冷却(77 K)下,最终获得了波长为 2.01  $\mu\text{m}$  的脉冲和连续激光输出。

1992年,Pinto 等<sup>[16]</sup>首次报道了 Tm:YAG 主动锁模激光器,当重复频率为 300 MHz 时,实现了脉宽 35 ps、输出功率 70 mW 的 2  $\mu\text{m}$  脉冲输出。

2009年,中国科学院物理研究所 Ma 等<sup>[17]</sup>首次采用输出波长为 1064 nm 的 Nd:YAG 激光器泵浦 Tm:YAG,在室温下实现了 Tm:YAG 激光器脉冲输出。波长为 1064 nm 的激光对应能级  $^3\text{H}_6$  至  $^3\text{H}_5$  的跃迁,量子亏损小,采用腔内泵浦的方式,可增加 Tm:YAG 晶体对 1064 nm 激光的吸收率。Tm:YAG 晶体设计成键合式结构以便于散热,声光调 Q 运转下,当重复频率 30 kHz 时,成功获得了平均功率 5.1 W、脉宽 300 ns 的

2  $\mu\text{m}$  激光输出。

2011年,哈尔滨工业大学 Wu 等<sup>[18]</sup>报道了一台室温工作的 Tm:YAG 单频激光器。通过插入两个标准具,获得了平均功率为 60 mW、波长为 2013 nm 的单频种子光输出。把种子光注入蝶形腔结构的激光振荡器中,当重复频率为 15 Hz 时,获得了单脉冲能量为 2.0 mJ、脉冲宽度为 356.2 ns 的 2  $\mu\text{m}$  单频激光输出。

2012年中国科学院理化技术研究所 Cao 等<sup>[19]</sup>报道了基于声光调 Q 的 Tm:YAG 激光器。实验装置如图 2 所示, $M_1$ 、 $M_2$  为前后腔镜,三个激光模块和声光 Q 开关放置在直腔中。在泵浦功率为 1300 W、水冷温度 8  $^{\circ}\text{C}$ 、重复频率为 10 kHz 时,实现了平均输出功率为 171.4 W、脉冲宽度为 1  $\mu\text{s}$ 、单脉冲能量为 17.14 mJ、峰值功率为 17.14 kW、波长为 2020 nm 的激光输出,对应的光-光转换效率为 13.3%,斜率效率为 18.9%,这是目前报道的 Tm:YAG 脉冲固体激光器获得的最大平均功率输出。

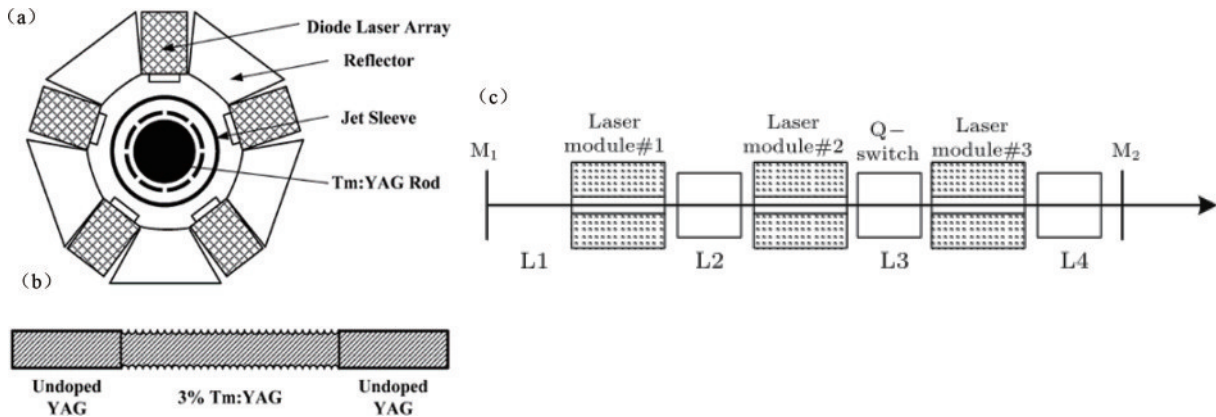


图 2 Tm:YAG 激光装置。(a) 单个激光模块;(b) 键合式 Tm:YAG 晶体;(c) Tm:YAG 激光器结构<sup>[19]</sup>

Fig. 2 Tm:YAG laser device. (a) Single laser module; (b) bonded Tm:YAG crystal; (c) Tm:YAG laser structure<sup>[19]</sup>

2014年,哈尔滨工业大学 Cai 等<sup>[20]</sup>首次将声光腔倒空技术应用在 Tm:YAG 激光器中,获得了纳秒量级的脉冲输出。以中心波长为 785 nm 的 LD 作为泵浦源,当重复频率为 200 kHz 时,获得了平均功率 595 mW、脉宽 54 ns、波长为 2013 nm 的激光输出。

2015年, Ma 等<sup>[21]</sup>首次报道了采用石墨烯作为锁模材料,在 Tm:YAG 陶瓷激光器中实现被动锁模。采用中心波长为 790 nm 的 LD 泵浦,在重复频率为 98.7 MHz 时,获得了脉宽为 2.8 ps,平均输出功率为 158 mW 的 2  $\mu\text{m}$  激光输出。

2015年, Yumoto 等<sup>[22]</sup>报道了纳秒级大能量 Tm:YAG 脉冲固体激光器。采用中心波长为 785 nm 的 LD 阵列侧面泵浦 Tm:YAG 晶体,声光调 Q 运转下,重复频率为 10 Hz 时,成功获得了单脉冲能量为 128 mJ、脉冲宽度为 160 ns、波长为 2.01  $\mu\text{m}$  的激光输出,斜效率为 14 %。

2020年,哈尔滨理工大学 Li 等<sup>[23]</sup>首次报道了采用

硫化物  $\text{MoS}_2$  作为可饱和吸收体的 Tm:YAG 被动锁模激光器。采用中心波长为 792 nm 的 LD 泵浦,当重复频率为 232.2 MHz 时,成功实现了脉宽为 280 ps、平均功率为 200 mW、波长为 2013.8 nm 的激光输出。

2021年, Körner 等<sup>[24]</sup>首次报道了 Tm:YAG 激光器在低温状态下成功输出中心波长为 1.88  $\mu\text{m}$  的激光。泵浦源为重复频率为 1 Hz、峰值功率为 28 W 的脉冲 LD,晶体温度保持在 120 K,在调 Q 状态下获得了单脉冲能量为 2.55 mJ、脉冲宽度为 650 ns、中心波长为 1.88  $\mu\text{m}$  的激光输出,在腔倒空状态下脉冲宽度被压缩至 15 ns,对应单脉冲能量为 2.22 mJ。

同年,长春理工大学 Fu 等<sup>[25]</sup>报道了一种双脉冲 Tm:YAG 激光器。基于声光调 Q 技术,当泵浦功率为 10 W、重复频率为 100 Hz 时,获得了单脉冲能量为 3.6 mJ、中心波长为 2014.16 nm 的双脉冲激光输出,前后两个脉冲的脉宽分别为 416 ns 和 407 ns。

表 2 Tm:YAG 脉冲固体激光器发展概况  
Table 2 Development of Tm:YAG pulsed solid-state laser

Year	Operation mode	Repetition frequency	Output power	Peak power	Pulse energy	Pulse width
1992 <sup>[16]</sup>	Actively mode-locked	300 MHz	70 mW	6.7 W	0.23 nJ	35 ps
2009 <sup>[17]</sup>	AO Q-switched	30 kHz	5.1 W	566.7 W	0.17 mJ	300 ns
2011 <sup>[18]</sup>	AO Q-switched	15 Hz	30 mW	5.6 kW	2.0 mJ	356.2 ns
2012 <sup>[19]</sup>	AO Q-switched	10 kHz	171.4 W	17.1 kW	20 mJ	1 $\mu$ s
2013 <sup>[26]</sup>	—	100 Hz	18 W	900 W	180 mJ	200 $\mu$ s
2014 <sup>[20]</sup>	Acousto optically cavity dumped	200 kHz	598 mW	54.6 W	2.95 $\mu$ J	54 ns
2015 <sup>[21]</sup>	Passively mode-locked	98.7 MHz	158 mW	571.7 W	1.6 nJ	2.8 ps
2015 <sup>[22]</sup>	AO Q-switched	10 Hz	1.3 W	800 kW	128 mJ	160 ns
2015 <sup>[27]</sup>	Passively mode-locked	89 MHz	150 mW	561.8 W	1.7 nJ	3 ps
2017 <sup>[28]</sup>	AO Q-switched	1 kHz	20.7 W	246.4 kW	20.7 mJ	84 ns
2017 <sup>[29]</sup>	Self-mode locked	3.376 GHz	1.2 W	120.1 W	0.36 nJ	3 ps
2018 <sup>[30]</sup>	Passively Q-switched	49.36 kHz	421 mW	20.2 W	8.53 $\mu$ J	423 ns
2018 <sup>[31]</sup>	Passively Q-switched	57.67 kHz	272 mW	12.6 W	4.8 $\mu$ J	382 ns
2019 <sup>[32]</sup>	AO Q-switched	200 Hz	1.37 W	18.6 kW	6.83 mJ	367.7 ns
2020 <sup>[33]</sup>	Passively Q-switched	124.5 kHz	842 mW	19 W	6.76 $\mu$ J	355 ns
2020 <sup>[23]</sup>	Passively mode-locked	232.2 MHz	200 mW	3.1 W	0.86 nJ	280 ps
2020 <sup>[34]</sup>	Passively mode-locked	97.7 MHz	117 mW	25.1 W	1.2 nJ	47.9 ps
2021 <sup>[35]</sup>	Passively mode-locked	203.1 MHz	320 mW	2.7 W	1.58 nJ	580.5 ps
2021 <sup>[36]</sup>	Passively Q-switched	101.8 kHz	263 mW	5.8 W	2.3 $\mu$ J	398 ns
2021 <sup>[24]</sup>	EO Q-switched	1 Hz	2.53 mW	3.9 kW	2.53 mJ	650 ns
2021 <sup>[37]</sup>	Passively Q-switched	119.3 kHz	251 mW	6.5 W	2.1 $\mu$ J	322.6 ns
2021 <sup>[25]</sup>	AO Q-switched	100 Hz	0.36 W	—	3.6 mJ	—
2021 <sup>[38]</sup>	Passively mode-locked	208.5 MHz	102 mW	2.19 W	0.49 nJ	224 ps

## 2.2 Tm:YAP 脉冲激光器

1997年, Elder等<sup>[39]</sup>以 Tm:YAP 为增益介质, 首次在室温下采用 LD 泵浦的方式, 获得了 1.965~2.020  $\mu$ m 的可调谐光输出。

2004年, Sullivan等<sup>[40]</sup>报道了声光调 Q 的高功率 Tm:YAP 激光器。当重复频率为 5 kHz 时, 获得了平均功率为 35 W、单脉冲能量为 7 mJ、脉冲宽度为 75 ns、波长为 1940 nm 的激光输出。

2011年, 哈尔滨工业大学 Yao等<sup>[41]</sup>报道了一台双波长高光束质量的 Tm:YAP 锁模激光器, 基于半导体饱和吸收体 (SESAM) 获得了锁模脉冲输出, 在重复频率为 26.47 kHz 时, 得到平均功率为 480 mW, 1936.9 nm 和 1938.9 nm 双波长激光输出, 光束质量  $M^2$  为 1.2 $\pm$ 0.2。

2015年, 哈尔滨工业大学 Yao等<sup>[42]</sup>首次报道了采用电光腔倒空方式获得脉冲输出的 Tm:YAP 激光器, 实验装置如图 3 所示。泵浦源采用中心波长为 792 nm 的 LD, 电光晶体 RTP 上周期性地加载四分之一电压, 最终成功获得了脉宽为 7.1 ns、平均功率为 3.02 W 的脉冲激光输出, 对应重复频率为 100 kHz。

2018年, 济南大学张海鹏等<sup>[43]</sup>基于 SESAM, 实现了 LD 泵浦 Tm:YAP 晶体的大功率连续锁模运转输出。当最大抽运功率为 7.96 W 时, 获得锁模激光的最大平均输出功率为 730 mW、脉宽为 1.7 ps, 对应的重复频率为 88.7 MHz, 中心波长为 1982.4 nm。

2019年, 长春理工大学 Wen等<sup>[44]</sup>采用双端泵浦技术实现了 Tm:YAP 激光器高峰值功率输出。泵浦源采用中心波长为 795 nm 的 LD, 当泵浦功率为 79.2 W、重复频率为 1 kHz 时, 获得了单脉冲能量为 16.36 mJ、峰值功率为 430.07 kW、脉宽 38.04 ns、波长 1.99  $\mu$ m 的激光输出, 对应的光光转换效率为 20.66%。这是目前 Tm:YAP 脉冲激光器所获得的最大峰值功率。

同年, 山东大学 Niu等<sup>[45]</sup>通过声光调 Q 和被动调 Q 相结合的方式实现了 Tm:YAP 激光器的脉冲输出。与单调 Q 手段相比, 双调 Q 技术在获得窄脉宽、高峰值功率的激光输出有独特的优势。当吸收泵浦功率为 5.34 W、重复频率为 1 kHz 时, 最终获得了脉冲宽度为 239 ns、峰值功率为 1146 W 的 2  $\mu$ m 的激光输出。

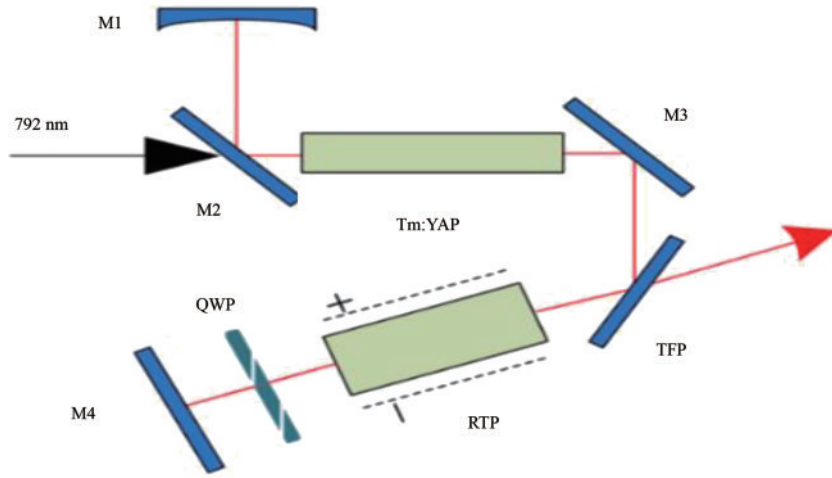


图 3 基于电光腔倒空的 Tm:YAP 激光器<sup>[42]</sup>

Fig. 3 Tm:YAP laser with electro-optical cavity-dumped<sup>[42]</sup>

表 3 Tm:YAP 脉冲固体激光器发展概况

Table 3 Development of Tm:YAP pulsed solid-state laser

Year	Operation mode	Repetition frequency	Output power	Peak power	Pulse energy	Pulse width
2004 <sup>[40]</sup>	AO Q-switched	5 kHz	35 W	93.3 kW	7 mJ	75 ns
2011 <sup>[41]</sup>	Passively mode-locked	26.47 kHz	480 mW	—	18.1 μJ	—
2014 <sup>[48]</sup>	Acousto optically cavity dumped	200 kHz	1.28 W	148.8 W	6.4 μJ	43 ns
2015 <sup>[42]</sup>	Electro-optic cavity dumped	100 kHz	3.02 W	4.3 kW	30.2 μJ	7.1 ns
2018 <sup>[43]</sup>	Passively mode-locked	88.7 MHz	730 mW	4.8 kW	8.2 nJ	1.7 ps
2019 <sup>[44]</sup>	AO Q-switched	1 kHz	16.4 W	430.1 kW	16.4 mJ	38.04 ns
2019 <sup>[49]</sup>	Passively mode-locked	96.55 MHz	880 mW	19.03 W	9.11 nJ	478.83 ps
2019 <sup>[50]</sup>	Passively Q-switched	255 kHz	2.2 W	15 W	8.7 μJ	579 ns
2019 <sup>[51]</sup>	Passively Q-switched	101 kHz	542 mW	10.1 W	5.4 μJ	533 ns
2019 <sup>[45]</sup>	Doubly Q-switched	1 kHz	274 mW	1.1 kW	274 μJ	239 ns
2019 <sup>[52]</sup>	Doubly Q-switched	62.7 kHz	350 mW	22.4 W	5.6 μJ	249.4 ns
2020 <sup>[53]</sup>	Passively Q-switched	95 kHz	957 mW	11.5 W	10.1 μJ	857.5 ns
2020 <sup>[54]</sup>	AO Q-switched	1 kHz	230 mW	4.6 kW	230 μJ	50 ns
2020 <sup>[46]</sup>	EO Q-switched	10 kHz	21.96 W	107.3 kW	2.20 mJ	20.64 ns
2020 <sup>[47]</sup>	EO Q-switched	200 Hz	630 mW	185.3 kW	3.15 mJ	17 ns
2020 <sup>[55]</sup>	Passively Q-switched	113.7 kHz	1.29 W	28.9 W	11.3 μJ	392.7 ns
2020 <sup>[56]</sup>	Passively Q-switched	24 kHz	100 mW	1.55 W	3.8 μJ	2.5 μs
2020 <sup>[57]</sup>	EO Q-switched	1 kHz	2 W	33.3 kW	2 mJ	60 ns
2020 <sup>[58]</sup>	Passively Q-switched	71 kHz	451 mW	8.58 W	6.35 μJ	740 ns
2021 <sup>[59]</sup>	AO Q-switched	10 kHz	33.2 W	16.6 kW	3.3 mJ	200 ns
2021 <sup>[60]</sup>	Passively Q-switched	88.28 kHz	0.97 W	24.4 W	11.2 μJ	459.0 ns
2021 <sup>[61]</sup>	AO Q-switched	1 kHz	2.3 W	80 kW	2.3 mJ	29.5 ns
2021 <sup>[62]</sup>	Passively Q-switched	105.1 kHz	2.05 W	21.2 W	19.5 μJ	916 ns
2021 <sup>[63]</sup>	Doubly Q-switched	100 Hz	420 mW	111.8 kW	4.2 mJ	38 ns
2021 <sup>[64]</sup>	Passively Q-switched	98.59 kHz	1.37 W	6.4 W	13.85 μJ	2.16 μs
2021 <sup>[65]</sup>	Passively Q-switched	175 kHz	0.81 W	2.7 W	4.6 μJ	1.69 μs
2021 <sup>[66]</sup>	Passively mode-locked	70.2 MHz	630 mW	57 W	8.9 nJ	156 ps
2021 <sup>[67]</sup>	Doubly Q-switched	200 Hz	151 mW	34.3 kW	755 μJ	22 ns
2021 <sup>[68]</sup>	Passively Q-switched	70.08 kHz	153 mW	2.67 W	2.18 μJ	821 ns
2022 <sup>[69]</sup>	EO Q-switched	1 kHz	1.76 W	88 kW	1.76 mJ	20 ns
2022 <sup>[70]</sup>	Passively Q-switched	49 kHz	280 mW	6.6 W	5.7 μJ	0.86 μs
2022 <sup>[71]</sup>	Passively Q-switched	95 kHz	220 mW	10.5 W	2.3 μJ	220 ns

2020年,长春理工大学Wen等<sup>[46]</sup>报道了基于电光调Q的Tm:YAP高重复频率板条激光器,采用中心波长为795 nm的LD进行双端泵浦,当泵浦功率为79.2 W、重复频率为10 kHz时,成功获得了平均功率为21.96 W、脉冲宽度为20.64 ns、单脉冲能量为2.20 mJ、峰值功率为107.3 kW、中心波长为1937.87 nm的脉冲激光输出。

同年,山东大学Yang等<sup>[47]</sup>报道了一台基于电光调Q的Tm:YAP窄脉宽激光器,当重复频率为200 Hz、泵浦功率为10.1 W时,获得了脉冲宽度为17 ns、峰值功率为185.3 kW、中心波长为1988 nm的脉冲激光输出。

### 2.3 Tm:YLF脉冲激光器

1997年,Ketteridge等<sup>[72]</sup>报道了一种在低温下(77 K)运行、光纤耦合LD双端泵浦的连续可调的Tm:YLF激光器,波长连续调谐范围1.85~1.92  $\mu\text{m}$ 。

2002年,Petros等<sup>[73]</sup>报道了高脉冲能量的Tm:YLF激光器。谐振腔设计成V型结构,通过LD阵列脉冲泵浦,输出脉宽为450  $\mu\text{s}$ 时,获得脉冲激光的能量为310 mJ、波长为1.91  $\mu\text{m}$ ,对应的斜效率为29%。

2007年,Jabczyński等<sup>[74]</sup>采用中心波长为792 nm的LD泵浦Tm:YLF晶体,声光调Q运转下,当重复频率为几Hz时,获得了峰值功率为300 kW、脉宽为15 ns、波长为1900 nm的激光输出。

2017年,诺曼底大学Soulard等<sup>[75]</sup>采用SESAM,展示了一种2.3  $\mu\text{m}$ 连续被动锁模Tm:YLF激光器。采用中心波长780 nm激光泵浦Tm:YLF晶体,重复频率100 MHz下,获得平均功率165 mW、脉宽为94 ps的锁模激光输出,这是第一次报道2.3  $\mu\text{m}$ 波长的SESAM锁模Tm:YLF激光器。

同年,Canbaz等<sup>[76]</sup>基于克尔透镜,在采用780 nm泵浦的Tm:YLF激光器中实现了被动锁模,获得了飞

秒量级的脉冲输出。当泵浦功率为880 mW、重复频率为41.5 MHz时,获得了平均功率14.4 mW、脉宽514 fs、波长2303 nm的激光输出。

2020年,Goldberg等<sup>[77]</sup>报道了大能量、高峰值功率的Tm:YLF被动调Q激光器。该激光装置将Cr:ZnS作为可饱和吸收体;当Cr:ZnS的透过率为92%、泵浦功率为30.5 W、重复频率为1 kHz时,获得了峰值功率为280 kW、单脉冲能量为10.8 mJ、脉冲宽度为38 ns的1.9  $\mu\text{m}$ 激光输出;当Cr:ZnS的透过率为89%、泵浦功率为14.7 W、重复频率约为300 Hz时,获得了峰值功率为350 kW、单脉冲能量为10.2 mJ、脉冲宽度为29 ns的1.9  $\mu\text{m}$ 激光输出,分别是目前已知Tm:YLF被动调Q脉冲激光器所获得的最大单脉冲能量和最高峰值功率。

2021年,Tamer等<sup>[78]</sup>基于如图4所示Tm:YLF激光装置,获得了焦耳量级的脉冲输出,实现了单掺铥大能量激光器的重大突破。该激光装置由振荡器和放大器两部分组成。振荡器部分采用中心波长为793 nm、峰值功率为1 kW的脉冲LD进行侧面泵浦,基于电光腔倒空技术,在重复频率为1 Hz时,获得了脉冲能量为18 mJ、脉宽为20 ns、波长为1.88  $\mu\text{m}$ 的脉冲激光输出。放大器部分采用双端脉冲泵浦的方式,2 min发射一个脉冲,经过四通放大,当LD输出脉冲宽度为30 ms、峰值功率为12.2 kW时,成功获得单脉冲能量为3.88 J、脉宽为20 ns、中心波长为1.88  $\mu\text{m}$ 的激光输出。在振荡器自由运转的状态下,当LD输出脉冲宽度为40 ms、峰值功率为16.9 kW时,获得了脉冲能量为38.1 J,脉宽为毫秒量级的激光输出。这项工作不仅打破了Tm:YLF激光器所获得的最高单脉冲能量纪录<sup>[73]</sup>,也是2  $\mu\text{m}$ 波段激光装置所获得的最高单脉冲能量<sup>[79]</sup>,展示了大能量Tm:YLF激光器的广阔前景。

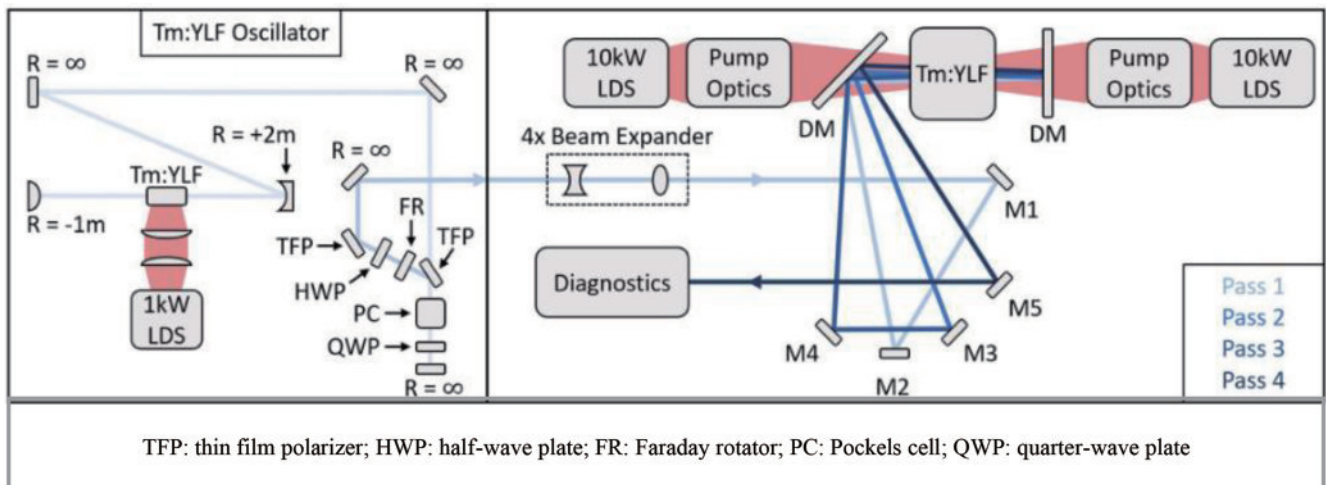


图4 大能量Tm:YLF实验装置

Fig. 4 Large energy Tm:YLF experimental device

表 4 Tm:YLF 脉冲固体激光器发展概况  
Table 4 Development of Tm:YLF pulsed solid-state laser

Year	Operation mode	Repetition frequency	Output power	Peak power	Pulse energy	Pulse width
2002 <sup>[73]</sup>	Free-running operation	—	—	—	310 mJ	—
2007 <sup>[74]</sup>	AO Q-switched	—	—	300 kW	4.5 mJ	15 ns
2017 <sup>[75]</sup>	Passively mode-locked	100 MHz	165 mW	17.6 W	1.65 nJ	94 ps
2017 <sup>[76]</sup>	Passively mode-locked	41.5 MHz	14.4 mW	675.1 W	0.35 nJ	514 fs
2018 <sup>[80]</sup>	Passively mode-locked	94 MHz	95 mW	32.6 W	1.01 nJ	31 ps
2019 <sup>[81]</sup>	AO Q-switched	1 kHz	1.97 W	53.2 kW	1.97 mJ	37 ns
2019 <sup>[82]</sup>	Passively Q-switched	76 kHz	6.3 W	27.5 W	85.2 $\mu$ J	3.1 $\mu$ s
2019 <sup>[83]</sup>	Passively Q-switched	82 kHz	1.05 W	30 W	12.8 $\mu$ J	427 ns
2019 <sup>[84]</sup>	Passively mode-locked	54.1 MHz	1.04 W	179.7 W	19 nJ	107 ps
2020 <sup>[85]</sup>	AO Q-switched	9 kHz	25 W	2.7 kW	2 mJ	740 ns
2020 <sup>[86]</sup>	EO Q-switched	1 kHz	1.4 W	82.4 kW	1.4 mJ	17 ns
2020 <sup>[77]</sup>	Passively Q-switched	1 kHz	10.8 W	280 kW	10.8 mJ	38 ns
2020 <sup>[87]</sup>	Passively Q-switched	6.67 kHz	320 mW	57 W	48 $\mu$ J	843 ns
2021 <sup>[88]</sup>	EO Q-switched	500 Hz	625 mW	65.8 kW	1.25 mJ	19 ns
2021 <sup>[78]</sup>	Electro-optic cavity dumped	—	—	—	3.88 J	—
2021 <sup>[78]</sup>	free-running operation	—	—	—	38.1 J	—
2021 <sup>[89]</sup>	AO Q-switched	5 kHz	7.32 W	21.5 kW	1.4 mJ	68 ns

### 3 结束语

近年来,基于 Tm:YAG、Tm:YAP 和 Tm:YLF 晶体的 2  $\mu$ m 波段固体激光器取得了一定的进展,激光输出功率、脉冲宽度、单脉冲能量等关键技术指标不断提升。就各自激光输出特性而言,目前,基于 Tm:YAG 晶体的 2  $\mu$ m 波段固体激光器实现了平均输出功率大于 150 W 的 2  $\mu$ m 波段激光输出。Tm:YAG 具有激光基质材料所要求的很多特性,性能稳定,在未来随着技术的发展,Tm:YAG 作为增益介质输出 2  $\mu$ m 波段激光的潜力会得到进一步释放。

基于 Tm:YAP 晶体的 2  $\mu$ m 波段固体激光器经过多年的发展,输出峰值功率可达百千瓦量级,脉冲宽度可达皮秒量级。由于 Tm:YAP 晶体可直接获得线偏振光输出,与 Tm:YLF 晶体相比具有更优良的物理与热性能,因此在一些领域也有着广泛用途。

Tm:YLF 晶体具有较长的上能级寿命和较小的声子能量,有利于实现大能量运转。最新报道中,Tm:YLF 激光装置基于电光腔倒空获得了单脉冲能量为 3.88 J 的纳秒级激光输出,在长脉冲泵浦时获得了脉冲能量为 38.1 J 的毫秒级激光输出,这不仅是 Tm:YLF 激光器所获得的最大单脉冲能量输出,也是 2  $\mu$ m 波段固体激光器实现的最大能量输出,印证了 Tm:YLF 晶体作为大能量 2  $\mu$ m 波段固体激光器增益介质的优越性。

由于铥为准三能级结构,因此存在激光输出性能受温度影响大的问题,在未来,可通过改善热管理、优

化泵浦结构及激光谐振腔、寻找新的激光基质材料等方式,进一步提升单掺铥脉冲激光器输出性能,满足相关应用。

### 参 考 文 献

- [1] Zhu X P, Liu J Q, Bi D C, et al. Development of all-solid coherent Doppler wind lidar[J]. Chinese Optics Letters, 2012, 10(1): 012801.
- [2] Diao W F, Zhang X, Liu J Q, et al. All fiber pulsed coherent lidar development for wind profiles measurements in boundary layers[J]. Chinese Optics Letters, 2014, 12(7): 072801.
- [3] Bakaraju R C, Ehrmann K, Falk D, et al. Physical human model eye and methods of its use to analyse optical performance of soft contact lenses[J]. Optics Express, 2010, 18(16): 16868-16882.
- [4] Pierce M C, Jackson S D, Dickinson M R, et al. Laser-tissue interaction with a high-power 2- $\mu$ m fiber laser: preliminary studies with soft tissue[J]. Lasers in Surgery and Medicine, 1999, 25(5): 407-413.
- [5] Koopmann P, Lamrini S, Scholle K, et al. Efficient diode-pumped laser operation of Tm:Lu<sub>2</sub>O<sub>3</sub> around 2  $\mu$ m [J]. Optics Letters, 2011, 36(6): 948-950.
- [6] 谢小兵,李世光,朱小磊,等. 2.05  $\mu$ m 单谐振纳秒脉冲光参量振荡器特性研究[J]. 中国激光, 2016, 43(12): 1208002.  
Xie X B, Li S G, Zhu X L, et al. Characteristics of single resonant nanosecond pulse optical parametric oscillator with output wavelength of 2.05  $\mu$ m[J]. Chinese Journal of Lasers, 2016, 43(12): 1208002.
- [7] 蔡宇航,张俊旋,陈晓,等. 侧面抽运(Tm, Ho):YLF

- 晶体传导冷却百纳秒脉冲激光器[J]. 中国激光, 2021, 48(13): 1301005.
- Cai Y H, Zhang J X, Chen X, et al. Side-pumped, conductively cooled (Tm, Ho): YLF pulsed laser with more than one-hundred-nanosecond pulse width[J]. Chinese Journal of Lasers, 2021, 48(13): 1301005.
- [8] 王飞, 黄海涛, 鲍玉朔, 等. GSA 和 ESA 双波长泵浦 2.3  $\mu\text{m}$  波段 Tm:YAP 激光器[J]. 中国激光, 2022, 49(1): 0101022.
- Wang F, Huang H T, Bao Y S, et al. GSA and ESA dual-wavelength pumped 2.3  $\mu\text{m}$  Tm:YAP lasers[J]. Chinese Journal of Lasers, 2022, 49(1): 0101022.
- [9] 姚宝权, 杨科, 密淑一, 等. 高功率 Ho:YAG 激光器及其泵浦的磷镓铟、硒镓铟和硒化镉中长波红外非线性光学频率转换研究进展[J]. 中国激光, 2022, 49(1): 0101002.
- Yao B Q, Yang K, Mi S Y, et al. Research progress of high-power Ho:YAG lasers and its application for pumping mid-far-infrared nonlinear frequency conversion in ZGP, BGSe and CdSe crystals[J]. Chinese Journal of Lasers, 2022, 49(1): 0101002.
- [10] Jackson S D, King T A. Theoretical modeling of Tm-doped silica fiber lasers[J]. Journal of Lightwave Technology, 1999, 17(5): 948-956.
- [11] 李玉峰. 二极管泵浦单掺 Tm<sup>3+</sup> 固体激光器研究[D]. 哈尔滨: 哈尔滨工业大学, 2008.
- Li Y F. Study of diode pumped Tm<sup>3+</sup> doped solid state lasers[D]. Harbin: Harbin Institute of Technology, 2008.
- [12] 克希耐尔. 固体激光工程[M]. 孙文, 译. 北京: 科学出版社, 2002.
- Koechner W. Solid-state laser engineering[M]. Sun W, Transl. Beijing: Science Press, 2002.
- [13] Buryy O A, Sugak D Y, Ubizskii S B, et al. The comparative analysis and optimization of the free-running Tm<sup>3+</sup>:YAP and Tm<sup>3+</sup>:YAG microlasers[J]. Applied Physics B, 2007, 88(3): 433.
- [14] Li G, Liu H, Lu F, et al. Analysis on preferential free running laser wavelength and performance modeling of Tm-doped YAP and YLF[J]. Applied Optics, 2014, 53(22): 4987-4996.
- [15] Johnson L F, Geusic J E, van Uitert L G. Coherent oscillations from Tm<sup>3+</sup>, Ho<sup>3+</sup>, Yb<sup>3+</sup> and Er<sup>3+</sup> ions in yttrium aluminum garnet[J]. Applied Physics Letters, 1965, 7(5): 127-129.
- [16] Pinto J F, Esterowitz L, Rosenblatt G H. Continuous-wave mode-locked 2- $\mu\text{m}$  Tm:YAG laser[J]. Optics Letters, 1992, 17(10): 731-732.
- [17] Ma Q L, Zong N, Xie S Y, et al. Q-switched Tm:YAG laser intracavity-pumped by a 1064 nm laser[J]. Chinese Physics Letters, 2009, 26(12): 124211.
- [18] Wu C T, Ju Y L, Wang Q, et al. Injection-seeded Tm:YAG laser at room temperature[J]. Optics Communications, 2011, 284(4): 994-998.
- [19] Cao D, Du S F, Peng Q J, et al. A 171.4 W diode-side-pumped Q-switched 2  $\mu\text{m}$  Tm:YAG laser with a 10 kHz repetition rate[J]. Chinese Physics Letters, 2012, 29(4): 044210.
- [20] Cai G Q, Ju Y L, Yao B Q, et al. Acousto-optically cavity dumped Tm:YAG laser with 54 ns pulses at 200 kHz repetition rate[J]. Optics Express, 2014, 22(8): 9942-9947.
- [21] Ma J, Xie G Q, Zhang J, et al. Passively mode-locked Tm:YAG ceramic laser based on graphene[J]. IEEE Journal of Selected Topics in Quantum Electronics, 2015, 21(1): 50-55.
- [22] Yumoto M, Saito N, Urata Y, et al. 128 mJ/pulse, laser-diode-pumped, Q-switched Tm:YAG laser[J]. IEEE Journal of Selected Topics in Quantum Electronics, 2015, 21(1): 364-368.
- [23] Li L J, Zhou L, Li T X, et al. Passive mode-locking operation of a diode-pumped Tm:YAG laser with a MoS<sub>2</sub> saturable absorber[J]. Optics & Laser Technology, 2020, 124: 105986.
- [24] Kömer J, Jambunathan V, Yue F, et al. Diode-pumped, electro-optically Q-switched, cryogenic Tm:YAG laser operating at 1.88  $\mu\text{m}$ [J]. High Power Laser Science and Engineering, 2021, 9(1): 103-108.
- [25] Fu Q S, Niu C, Liu J G, et al. LD end-pumped Tm:YAG acousto-optic Q-switched double-pulse laser[J]. Infrared Physics & Technology, 2021, 119: 103923.
- [26] Heinrich A, Harlander M, Bragagna T, et al. 2  $\mu\text{m}$  diode pumped Tm:YAG laser with 180 mJ pulse energy [C]//2013 Conference on Lasers & Electro-Optics Europe & International Quantum Electronics Conference CLEO EUROPE/IQEC, May 12-16, 2013, Munich, Germany. New York: IEEE Press, 2013.
- [27] Gluth A, Wang Y C, Petrov V, et al. GaSb-based SESAM mode-locked Tm:YAG ceramic laser at 2  $\mu\text{m}$  [J]. Optics Express, 2015, 23(2): 1361-1369.
- [28] 金琳. 2  $\mu\text{m}$  Tm:YAG 主动调 Q 板条激光器研究[D]. 徐州: 江苏师范大学, 2017.
- Jin L. Study of actively Q-switched 2  $\mu\text{m}$  Tm:YAG slab laser[D]. Xuzhou: Jiangsu Normal University, 2017.
- [29] Cho C Y, Chen Y F, Zhang G, et al. Exploring the self-mode locking of the 2  $\mu\text{m}$  Tm:YAG laser with suppression of the self-pulsing dynamic[J]. Optics Letters, 2017, 42(24): 5226-5229.
- [30] Gao P, Huang J H, Liu H G, et al. Passively Q-switched solid-state Tm:YAG laser with MoS<sub>2</sub> as saturable absorber[J]. Chinese Journal of Lasers, 2018, 45(7): 0701002.
- [31] Gao P, Huang H Z, Wang X H, et al. Passively Q-switched solid-state Tm:YAG laser using topological insulator Bi<sub>2</sub>Te<sub>3</sub> as a saturable absorber[J]. Applied Optics, 2018, 57(9): 2020-2024.
- [32] Wu C T, Jiang Y, Wang C, et al. Pulse-diode-intermittent-pumped 2- $\mu\text{m}$  acousto-optically Q-switched Tm:YAG laser[J]. Infrared Physics & Technology, 2019, 96: 151-154.
- [33] Shang J C, Feng T L, Zhao S Z, et al. Saturable absorption characteristics of Bi<sub>2</sub>Se<sub>3</sub> in a 2  $\mu\text{m}$  Q-switching bulk laser[J]. Optics Express, 2020, 28(4): 5639-5647.
- [34] Shen Y J, Han X H, Li L J, et al. Continuous-wave mode-locked Tm:YAG laser with GaAs-based SESAM [J]. Infrared Physics & Technology, 2020, 111: 103539.



- [35] Zhou L, Duan X M, Xie W Q, et al. Optical and laser performances of a layered  $\text{ReSe}_2$  saturable absorber for a 2- $\mu\text{m}$  solid laser[J]. *Optics & Laser Technology*, 2021, 135: 106685.
- [36] Xu J Y, Cai E L, Zhang S Y, et al. Nickel-vanadium layered double hydroxide nanosheets as the saturable absorber for a passively Q-switched 2  $\mu\text{m}$  solid-state laser [J]. *Applied Optics*, 2021, 60(7): 1851-1855.
- [37] Xu J Y, Cai E L, Dong S H, et al. Nickel-cobalt layered double hydroxide nanosheets saturable absorber for passively Q-switched Tm:YAG ceramic 2  $\mu\text{m}$  solid-state laser[J]. *Optics & Laser Technology*, 2021, 144: 107406.
- [38] Li L J, Qi T Q, Xie W Q, et al. A passively mode-locked Tm:YAG laser with a titanium disulfide saturable absorber[J]. *Infrared Physics & Technology*, 2021, 119: 103942.
- [39] Elder I F, Payne J. Diode-pumped, room-temperature Tm:YAP laser[J]. *Applied Optics*, 1997, 36(33): 8606-8610.
- [40] Sullivan A C, Zakel A, Wagner G J, et al. High power Q-switched Tm:YALO lasers[C]//Advanced Solid-State Photonics (TOPS), February 1-4, 2004, Santa Fe, New Mexico. Washington, D.C.: OSA, 2004: 329.
- [41] Yao B Q, Wang W, Tian Y, et al. InGaAs/GaAs saturable absorber for diode-pumped passively Q-switched mode-locking of Tm:YAP laser[J]. *Laser Physics*, 2011, 21(12): 2020-2024.
- [42] Yao B Q, Li X L, Shi H W, et al. Diode-pumped electro-optical cavity-dumped Tm:YAP laser at 1996.9 nm[J]. *Chinese Optics Letters*, 2015, 13(10): 101402.
- [43] 张海鹏, 黄继阳, 周城, 等. 2  $\mu\text{m}$  波段 Tm:YAP 晶体半导体可饱和吸收镜连续波锁模激光器[J]. *红外与激光工程*, 2018, 47(5): 0505003.  
Zhang H K, Huang J Y, Zhou C, et al. CW mode-locked Tm:YAP laser with semiconductor saturable-absorber mirror at around 2  $\mu\text{m}$ [J]. *Infrared and Laser Engineering*, 2018, 47(5): 0505003.
- [44] Wen Y, Zhang H L, Zhang L, et al. 1.99 micron Tm:YAP acousto-optical Q-switch laser[J]. *IOP Conference Series: Materials Science and Engineering*, 2019, 563(3): 032007.
- [45] Niu Z Q, Li G Q, Yang K J, et al. Doubly Q-switched Tm:YAP laser with  $\text{g-C}_3\text{N}_4$  saturable absorber and AOM [J]. *Optical Materials*, 2019, 96: 109306.
- [46] Wen Y, Li T Y, He Q F, et al. Laser-diode dual-end-pumped electro-optic Q-switched slab Tm:YAP laser[J]. *Infrared Physics & Technology*, 2020, 105: 103215.
- [47] Yang Y L, Zhao S Z, Li T, et al. High-peak-power Q-switched 1988 nm bulk laser based on an electro-optical  $\text{La}_3\text{Ga}_5\text{SiO}_{14}$  modulator[J]. *Applied Optics*, 2020, 59(8): 2616-2620.
- [48] Yao B Q, Shi H W, Dai T Y, et al. Diode-pumped acousto-optical cavity-dumped Tm:YAP laser at 1989 nm[J]. *Applied Optics*, 2014, 53(29): 6816-6819.
- [49] Li L J, Yang X N, Zhou L, et al. BN as a saturable absorber for a passively mode-locked 2  $\mu\text{m}$  solid-state laser[J]. *Physica Status Solidi- Rapid Research Letters*, 2018, 13(3): 1800482.
- [50] Li L J, Zhou L, Yang X N, et al. A 2.22-W passively Q-switched Tm<sup>3+</sup>-doped laser with a  $\text{TiC}_2$  saturable absorber [J]. *IEEE Photonics Journal*, 2019, 11(2): 1501807.
- [51] Wang X H, Hu J Y, Xu J L, et al.  $\text{Sb}_2\text{Te}_3$  as the saturable absorber for the  $\sim 2.0$   $\mu\text{m}$  passively Q-switched solid state pulsed laser[J]. *RSC Advances*, 2019, 9(50): 29312-29316.
- [52] Niu Z Q, Yang K J, Li T, et al. Doubly passively Q-switched Tm:YAP laser with  $\text{MoS}_2$  and  $\text{WS}_2$  saturable absorbers at 2  $\mu\text{m}$ [J]. *Optik*, 2019, 198: 163205.
- [53] Xu S H, Wang Q G, Zhang H Y, et al. Nonlinear optical properties and Q-switched laser application of a novel  $\text{Mo}_{0.5}\text{Re}_{0.5}\text{S}_2$  ternary alloy material at 2  $\mu\text{m}$ [J]. *Applied Physics Express*, 2019, 13(2): 022006.
- [54] Berthomé Q, Grisard A, Faure B, et al. Actively Q-switched tunable single-longitudinal-mode 2  $\mu\text{m}$  Tm:YAP laser using a transversally chirped volume Bragg grating[J]. *Optics Express*, 2020, 28(4): 5013-5021.
- [55] Li L J, Cui W C, Yang X N, et al. A high-beam-quality passively Q-switched 2  $\mu\text{m}$  solid-state laser with a  $\text{WSe}_2$  saturable absorber[J]. *Optics & Laser Technology*, 2020, 125: 105960.
- [56] Ma Y F, Sun H Y, Ran B F, et al. Passively Q-switched Tm:YAlO<sub>3</sub> laser based on  $\text{WS}_2/\text{MoS}_2$  two-dimensional nanosheets at 2  $\mu\text{m}$ [J]. *Optics & Laser Technology*, 2020, 126: 106084.
- [57] Lin S T, Qiu Z R, Chen C P. Actively Q-switched Tm:YAP laser constructed using an electro-optic periodically poled lithium niobate Bragg modulator[J]. *IEEE Photonics Journal*, 2020, 12(5): 1503509.
- [58] Zhang H Y, Xu S H, Wang Q G, et al. 2  $\mu\text{m}$  passively Q-switched all-solid-state laser based on a  $\text{Ta}_2\text{NiSe}_3$  saturable absorber[J]. *Optical Materials Express*, 2020, 10(12): 3090-3096.
- [59] 袁振, 令维军, 陈晨, 等. LD 双端泵浦高功率声光调 Q Tm:YAP 激光器[J]. *中国激光*, 2021, 48(5): 232-239.  
Yuan Z, Ling W J, Chen C, et al. A high-power LD double-end-pumped acousto-optic Q-switched Tm:YAP laser[J]. *Chinese Journal of Lasers*, 2021, 48(5): 232-239.
- [60] Zhang L, Zhang H D, Sun W, et al. A 0.97-W passively Q-switched Tm:YAP laser with a  $\text{WSe}_2$  saturable absorber[J]. *Proceedings of SPIE*, 2021, 11763: 117634Z.
- [61] Sheintop U, Perez E, Nahear R, et al. Widely tunable, narrow bandwidth, mJ level Tm:YAP laser with YAG Etalons[J]. *Optics & Laser Technology*, 2021, 136: 106710.
- [62] Gao T W, Zhang R, Shi Z C, et al. High peak power passively Q-switched 2  $\mu\text{m}$  solid-state laser based on a  $\text{MoS}_2$  saturated absorber[J]. *Microwave and Optical Technology Letters*, 2021, 63(3): 1990-1994.
- [63] Niu Z Q, Feng T L, Li T, et al. Theoretical and experimental investigations on doubly Q-switched Tm:YAP laser with EOM and  $\text{Sb}_2\text{Te}_3$  nanosheets[J]. *Optics Express*, 2021, 29(16): 24684-24694.
- [64] Liu W X, Zu Y Q, Guo J, et al. Watt-level graphdiyne passively Q-switched Tm:YAP laser at  $\sim 2$   $\mu\text{m}$ [J]. *Optik*, 2021, 242: 167208.

- [65] Li S C, Li L J, Qi T Q, et al. Passively Q-switched Tm: YAP laser with a lead zirconate titanate saturable absorber[J]. *Applied Optics*, 2021, 60(26): 8097-8102.
- [66] Na Q X, Xu C W, Chen H, et al. Continuous-wave and mode-locking operation of Tm: YAP lasers near 1.8  $\mu\text{m}$  [J]. *Optics & Laser Technology*, 2021, 142: 107225.
- [67] Niu Z Q, Feng T L, Li T, et al. Layered metallic vanadium disulfide for doubly Q-switched Tm: YAP laser with EOM: experimental and theoretical investigations [J]. *Nanomaterials*, 2021, 11(10): 2605.
- [68] Zhao L N, Zhang W Y, Yuan Y, et al. Mo: BiVO<sub>4</sub> nanoparticles-based optical modulator and its application in a 2- $\mu\text{m}$  pulsed laser[J]. *Nanomaterials*, 2021, 11(12): 3243.
- [69] Nahear R, Bach Y, Noach S. Electro optic Tm: YAP/ KLTN laser using polarization modulation[J]. *Optics & Laser Technology*, 2022, 146: 107548.
- [70] Meng Y, Liu Y Z, Li T, et al. Investigation of nonlinear optical modulation characteristics of MXene VCrC for pulsed lasers[J]. *Molecules*, 2022, 27(3): 759.
- [71] Chu H W, Dong L, Pan Z B, et al. Passively Q-switched Tm: YAP laser with a zeolitic imidalate framework-67 saturable absorber operating at  $^3\text{H}_4 \rightarrow ^3\text{H}_5$  transition[J]. *Optics & Laser Technology*, 2022, 147: 107679.
- [72] Ketteridge P A, Budni P A, Knights M G, et al. An all solid-state 7 watt CW, tunable Tm: YLF laser[C]// *Advanced Solid State Lasers 1997*, January 27, 1997, Orlando, Florida, USA. Washington, D. C.: OSA, 1997: LS2.
- [73] Petros M, Yu J, Singh U, et al. 300-mJ diode-pumped 1.9- $\mu\text{m}$  Tm: YLF laser[M]. Washington, D.C.: SPIE, 2002.
- [74] Jabczynski J K, Kwiatkowski J, Zenzian W, et al. Compact, high peak power, diode pumped, Q-switched Tm: YLF laser[C]// *2007 European Conference on Lasers and Electro-Optics and the International Quantum Electronics Conference*, April 17, 2007, Munich, Germany. New York: IEEE Press, 2007.
- [75] Soulard R, Tyazhev A, Doualan J L, et al. 2.3  $\mu\text{m}$  Tm<sup>3+</sup>: YLF mode-locked laser[J]. *Optics Letters*, 2017, 42(18): 3534-3536.
- [76] Canbaz F, Yorulmaz I, Sennaroglu A. Kerr-lens mode-locked 2.3- $\mu\text{m}$  Tm<sup>3+</sup>: YLF laser as a source of femtosecond pulses in the mid-infrared[J]. *Optics Letters*, 2017, 42(19): 3964-3967.
- [77] Goldberg L, King V, Cole B, et al. Passively Q-switched 10 mJ Tm: YLF laser with efficient OPO conversion to mid-IR[J]. *Proceedings of SPIE*, 2020, 11259: 1125906.
- [78] Tamer I, Reagan B A, Galvin T, et al. Demonstration of a compact, multi-joule, diode-pumped Tm: YLF laser [J]. *Optics Letters*, 2021, 46(20): 5096-5099.
- [79] Li C, Song J, Shen D Y, et al. Flash-lamp-pumped acousto-optic Q-switched Cr-Tm: YAG laser[J]. *Optical Review*, 2000, 7(1): 58-61.
- [80] Tyazhev A, Soulard R, Godin T, et al. Passively mode-locked diode-pumped Tm<sup>3+</sup>: YLF laser emitting at 1.91  $\mu\text{m}$  using a GaAs-based SESAM[J]. *Laser Physics Letters*, 2018, 15(4): 045807.
- [81] Eytan P, Rotem N, Uzziel S, et al. Active and passive Q-switched tunable mJ level Tm laser[J]. *Proceedings of SPIE*, 2019, 11033: 110330D.
- [82] Li L J, Yang X N, Zhou L, et al. High beam quality passively Q-switched operation of a slab Tm: YLF laser with a MoS<sub>2</sub> saturable absorber mirror[J]. *Optics & Laser Technology*, 2019, 112: 39-42.
- [83] Cao L H, Tang W J, Zhao S Z, et al. 2  $\mu\text{m}$  Passively Q-switched all-solid-state laser based on WSe<sub>2</sub> saturable absorber[J]. *Optics & Laser Technology*, 2019, 113: 72-76.
- [84] Na Q X, Huang Z Y, He M M, et al. Watt-level passively mode-locked Tm: YLF laser at 1.83  $\mu\text{m}$ [J]. *Optics Express*, 2019, 27(24): 35230-35237.
- [85] Kucirek P, Erben B, Hörmann F, et al. Rod and slab type cw and Q-switched Tm: YLF lasers[C]// *OSA High-brightness Sources and Light-driven Interactions Congress 2020 (EUVXRAY, HILAS, MICS)*, November 16-20, 2020, Washington, DC. Washington, D. C.: OSA, 2020: MTh3C.4.
- [86] Nahear R, Vidal Y, Noach S, et al. Active Q-switch Tm: YLF based on electro-optic KLTN[J]. *Proceedings of SPIE*, 2020, 11259: 112590X.
- [87] Wu F Y, Wang S Q, Chen H W, et al. 2.3  $\mu\text{m}$  nanosecond passive Q-switching of an LD-pumped Tm: YLF laser using gold nanorods as a saturable absorber[J]. *Frontiers of Information Technology & Electronic Engineering*, 2021, 22(3): 312-317.
- [88] Noach S, Nahear R, Vidal Y, et al. Electro-optic active Q-switched Tm: YLF laser based on polarization modulation[J]. *Optics Letters*, 2021, 46(8): 1971-1974.
- [89] Guo L, Yang Y L, Wang R H, et al. Experimental and theoretical study of an actively Q-switched Tm: YLF laser with an acousto-optic modulator[J]. *Molecules*, 2021, 26(23): 7324.